

# ثبت خاک لایه‌های خاک رسی اشباع شل زیر پی سطحی با استفاده از ژئوگرید

صفد محمودی آذر

گروه عمران، واحد تبریز، دانشگاه آزاد اسلامی، تبریز، ایران

رامین وفایی پورسرخابی\*

استادیار، گروه عمران، واحد تبریز، دانشگاه آزاد اسلامی، تبریز، ایران

raminvafaei@yahoo.com

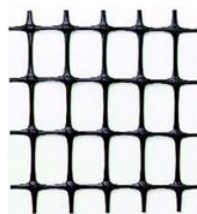
تاریخ دریافت: ۹۶/۰۳/۲۷ تاریخ پذیرش نهایی: ۹۶/۰۳/۲۰

چکیده:

ژئوگرید به عنوان مسلح‌کننده در عصر حاضر می‌تواند مشکلاتی را که احداث سازه‌های سنگین و خاکریزها روی خاک‌های ضعیف دارند، بدون نیاز به شمع‌کوبی و یا عملیات خاکبرداری یا خاکریز حل نماید. این عمل با قرارگیری لایه‌های ژئوگرید بر روی خاک سست و لایه‌ای آن در فواصل مناسبی که سطوح گسیختگی را قطع می‌نماید می‌سرمی‌گردد. در این مقاله با در دست داشتن داده‌های ژئوتکنیکی خاک ضعیف منطقه کوی فرشته واقع در شهر تبریز از ژئوگرید نوع دو طرفه که به صورت گسترده و موازی در زیر پی در فواصل یک متر از هم دیگر و بیرون زدگی‌های صفر، یک، دو، سه و چهار متر از کناره پی استفاده گردیده است و در مدل نرم‌افزاری پلکسیس دو مورد تحلیل استاتیکی و دینامیکی قرار گرفته است و رفتار آن‌ها با یکدیگر مقایسه شده است. براساس نتایج حاصله احداث ژئوگرید دو لایه با بیرون زدگی سه متر از کناره پی در مدت زمان سی روز نشستی برابر ۴,۳۰ سانتی‌متر را شاهد بوده است که کمترین میزان را در مقایسه با لایه‌بندی‌های دیگر داشته است که در این حالت می‌تواند کمک به‌سازی در جلوگیری از نشستهای درازمدت ایفا کند. این موضوع و نتایج زمانی کاربرد خواهد داشت که زمین از طرف سازه‌های مسکونی مجاور تا شعاع سه متری محدودیتی نداشته باشد.

**کلید واژگان:** ژئوگرید، مسلح‌کننده، تحلیل دینامیکی، نشست

مهار نماید. ژئوگرید در حالت کلی به دو صورت تک محوری و دو محوری وجود دارد که در این مقاله ژئوگرید دو محوری یا دوطرفه به عنوان اساس تحقیق درنظر گرفته شده است [۳] و [۴].



شکل ۱- انواع ژئوگرید از نوع تک محوری و دو محوری [۴].

تاکنون سه نسل از ژئوگرید در دنیا تولید شده است که تفاوت اصلی آن‌ها در نحوه اتصال تار و پود و در توجه مقاومت دارازمدت آن‌ها می‌باشد. به نسل اول ژئوگرید قالبی، نسل دوم ژئوگرید بافته شده و نسل سوم ژئوگرید جوشی اطلاق می‌شود. ژئوگریدهای جوشی دارای مدول الاستیسیته اولیه زیادی هستند که این موضوع باعث می‌شود به محض اعمال نیرو وارد عمل شده و نیرو را تحمل نماید، درحالی‌که ژئوگریدهای بافته شده به علت انعطاف‌پذیری بیشتر این خاصیت را نداشته و در اثر اعمال نیرو ابتدا باید مقداری تغییر طول یافته و بعد وارد عمل شوند [۳].

#### ۴- روش تحقیق

حسینی و صالحی در سال ۱۳۹۴، به ارزیابی رفتار پی‌های نواری بر روی خاک لایه‌ی مسلح با ژئوگریدها پرداختند. نتایج پژوهش نشان داد که استفاده از یک لایه مسلح کننده در مزد دو لایه‌ی متراکم و سست، منجر به بهبود شرایط خاک و افزایش ظرفیت باربری نهایی پی‌نواری خواهد شد [۵]. ماتسووا و همکاران، به بررسی خاک شنی مسلح شده به شمع و ژئوگرید در واکنش با بستر خاک اشباع شده در حضور آب زیرزمینی پرداختند. آن‌ها به این نتیجه رسیدند که با افزایش فشار آب حفره‌ای بر روی بدنه شمع و ژئوگرید باعث توسعه سریع تنش و کرنش در بدنه شمع و ژئوگرید می‌گردد [۶]. شیردل و قبیری، به تعیین ظرفیت باربری پی‌های نواری واقع بر خاک مسلح با استفاده از روش قطعات افقی پرداختند. نتایج بدست آمده نشان داد که با کار بردن تنها یک مسلح کننده مثل ژئوگرید، ظرفیت باربری نهایی خاک ماسه ای افزایش می‌یابد. در واقع با افزایش زاویه اصطکاک داخلی در خاک ماسه‌ای بار اعمالی به پی توسط خاک تحمل می‌شود. اما در خاک‌هایی با زاویه اصطکاک داخلی کمتر مسلح کننده نقش تعیین‌کننده‌تری دارد و تاثیر آن در افزایش ظرفیت باربری چشم‌گیرتر است [۷].

#### ۵- طرح مسئله و مدل‌سازی عددی

در تحقیق حاضر از ژئوگرید نوع دو طرفه که به صورت گستردگی و موازی در زیر پی در فواصل یک متر از هم دیگر و بیرون زدگی‌های سه متر از کناره پی استفاده گردیده است و در مدل نرم‌افزار PLAXIS مورد تحلیل استاتیکی و دینامیکی قرار گرفته است و رفتار آن‌ها با یکدیگر مقایسه شده است. نظر به اینکه نشست تحکیم مذکور بوده است، لذا در حالت بدون نیروی زلزله در تحلیل از مدل رفتاری خوش استفاده

#### ۱- مقدمه

در شرایطی که خاک زیر پی ضعیف باشد و تحمل بارهای وارد را نداشته باشد، بهسازی خاک با جایگزینی خاک مناسب، راهی منطقی و مناسب است. استفاده از مسلح کننده‌های ژئوگرید با توجه به مکانیزم اندرکنش با خاک امکان کاهش ضخامت لایه‌ی متراکم را ممکن می‌سازد [۱]. نیاز به ایجاد سازه بر روی خاک‌های ضعیف محققان را مجاب به مطالعه در مورد تأثیر تسليح خاک بر افزایش توان باربری خاک کرده و پژوهش‌های زیادی در مورد فواید استفاده از مسلح کننده و تثبیت کننده‌ها در بالا بردن مقاومت و پایداری خاک سطحی انجام شده است. خاک مسلح با توجه افزایش مقاومت کششی خاک، افزایش مقاومت بررشی به علت اصطکاک موجود در سطح تماس خاک و مصالح مسلح کننده و جلوگیری از نفوذ مصالح در خاک سست باعث افزایش ظرفیت باربری و کاهش نشست خاک و همچنین باعث افزایش پایداری می‌شود. استفاده از خاک مسلح چه از نظر فنی و چه از نظر اقتصادی، در اغلب اوقات بر دیگر روش‌ها برتری دارد [۲]. عکس العمل ما بین شالوده و خاک زیر آن یکی از مسائل مهم در مهندسی عمران می‌باشد و این مسئله از اواخر قرن نوزدهم توجه مهندسان را به خود جلب کرده است.

#### ۲- ژئوستیک‌ها

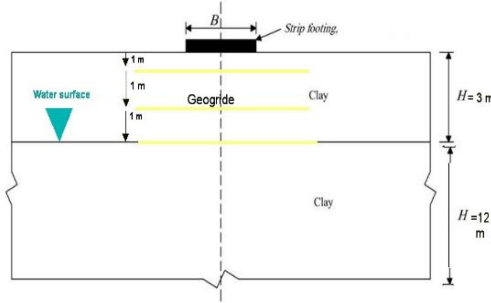
ژئوستیک‌ها به چند گروه کلی تقسیم می‌شوند که به شرح ذیل است، ژئوتكستیل‌ها: برای مسلح‌سازی، زهکشی مناسب، جداسازی، اضافه نمودن قدرت باربری آسفالت و خاک، عمر مفید آسفالت، حفاظت سازه ای از سواحل و بنادر، نشست همگون در سازه‌های دریایی نظری موج-شکن‌ها، حفاظت از لایه بالادست در راه‌آهن، افزایش قدرت باربری بستر راه و راه‌آهن و بسیاری از موارد دیگر کاربرد دارند [۲].

ژئوگریدهای: برای مسلح‌سازی خاک و ساخت دیوارهای حائل و غیره کاربرد دارند. ژئونت‌ها: برای جلوگیری از فرسایش شیب‌ها و زهکشی مناسب کاربرد دارند.

ژئوکمپوزیت‌ها: برای زهکشی زمین‌های ورزشی و دیوارهای حائل و سقف توپل‌ها کاربرد دارند [۳].

#### ۳- معرفی کلی ژئوگرید

ژئوگرید صفحه‌ای است دارای ساختار متشکل از سایر رشته‌ها که بصورت عمود برهم و یا غیر عمود در نقاطی به نام نقاط اتصال به شیوه‌های مختلف بههم متصل شده و چشم‌هایی به شکل شبکه و یا چندضلعی را به وجود آورده‌اند. در واقع ژئوگریدها به عنوان یکی از انواع ژئوستیک‌ها محصولاتی پلیمری هستند که معمولاً به شکل شبکه‌های منظم در یک جهت و یا دو جهت ساخته می‌شوند. این شبکه‌ها و بخصوص حفره‌های میان آن‌ها موجب می‌شوند که ذرات خاک و یا مصالح سنگی به خوبی با آن‌ها درگیر شده و مجموعه ژئوگرید و مصالح اطراف آن از خاصیت قفل و بست خوبی برخوردار گردد. بدین ترتیب ژئوگرید به کار رفته در لایه‌های خاکریز همانند عناصر مقاوم در مقابل کشش عمل نموده و در نواحی که تنش و تغییرشکل‌های کششی در خاک بوجود می‌آید، به خوبی می‌تواند نیروها و تغییرشکل‌ها را در خود



شکل ۴- هندسه مسئله در حضور سه لایه ژئوگرید

نرم فزار PLAXIS برای انجام محاسبات مربوط به تغییر شکل و تحلیل تعادل در بسیاری از مسائل ژئوتکنیکی به کار می‌رود [۸]. برای مدل سازی توسط نرم افزار، از یک، دو و سه لایه ژئوگرید به فواصل یک متر از هم دیگر در یک متری خاک زیر پی استفاده شده است. ابعاد مدل برای تأمین شرایط مرزی به منظور جلوگیری از حرکت خاک بر اثر بار وارده بر پی به اندازه کافی بزرگ است. در مدل سازی مصالح از مدل رفتاری خاک نرم شونده خوشی استفاده شده است. مشخصات خاک منطقه کوی فرشته به ترتیبی که در جدول (۱) مشاهده می‌شود آمده است.

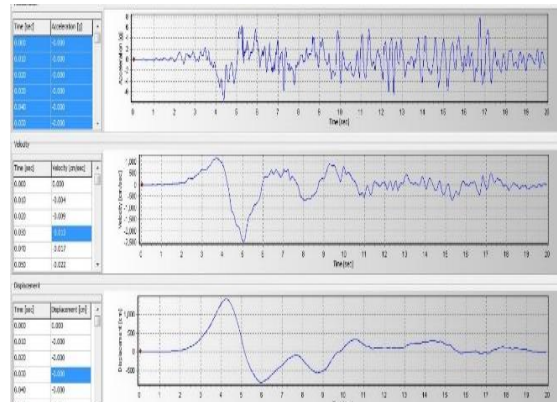
جدول ۱- مشخصات مصالح خاک ضعیف منطقه

$\omega = ۱۰\%$	روطوت خاک
$\gamma = ۱۶ \text{ gr/cm}^3$	چگالی ویژه خاک
$C = ۱۰ \text{ Kn/m}^2$	چسبندگی خاک
$\phi = ۲۶^\circ$	زاویه اصطکاک داخلی خاک
$e = ۰,۵$	تخلخل
$LL = ۰,۳۵$	حد روانی
$PI = ۱۴,۲$	شاخص خمیرابی



شکل ۵- عکس هوایی تهیه شده از کوی فرشته تبریز

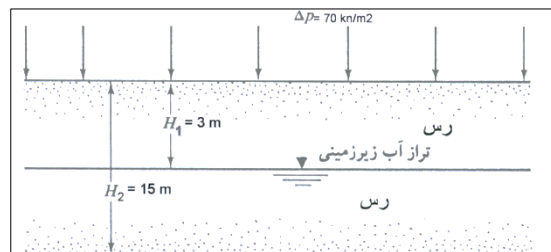
گردیده است. برای تحلیل دینامیکی خاک زیر پی از داده‌های اصلاح شده زلزله بم استفاده گردیده است که در شکل زیر مشخص شده است.



شکل ۲- شتابنگاشت اصلاح شده زلزله بم

جهت صحتسنجی و مقایسه نتایج برای این تحقیق، شش مدل ژئوگرید در زیر پی مدل سازی گردید و نتایج آن در شرایط استانداری و بارگذاری دینامیکی ارائه شده است. مشتملی از نوع المان مثلى بوده است. در پایان با یک مدل گروه شمع بکار رفته در زیر پی با همان مشخصات خاک ضعیف کوی فرشته نتایج مقایسه گردیده شده است. محیط مطالعاتی که برای خاک زیر پی در نظر گرفته شده است با ابعاد مدل، ۳۵ متر عرض، ۱۵ متر عمق می‌باشد.

شکل ۳ هندسه مسئله را نشان می‌دهد که در آن پی نواری صلب روی یک لایه رس قرار گرفته است. عرض پی  $B = 15\text{m}$  می‌باشد و خاصیت لایه اول تا برخورد به سطح آب زیر زمینی ۳ متر می‌باشد، همراه با لایه‌بندی ژئوگرید شرایط لایه خاکی به صورت نیم فضای همگن در نظر گرفته شده است.

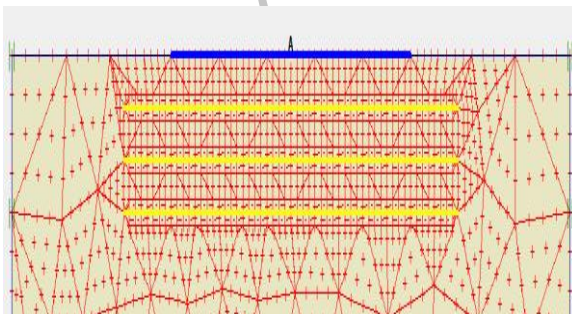


شکل ۳- هندسه مسئله

جدول ۵- پارامترهای ورودی نرمافزار

واحد	لایه رس	نام	پارامتر ها
-	مدل نرم شونده خرزشی		مدل رفتاری
	رهکشی شده		رفتار مصالح
$\text{kN/m}^3$	۱۸	$\gamma_{\text{unsat}}$	وزن مخصوص خشک
$\text{kN/m}^3$	۱۹	$\gamma_{\text{sat}}$	وزن مخصوص مرطوب
$\text{m/day}$	$10^{-6}$	$k_x$	ضریب نفوذپذیری افقی
$\text{m/day}$	$10^{-6}$	$k_y$	ضریب نفوذپذیری قائم
-	۲۶ درجه	$\phi$	زاویه اصطکاک
$\text{kN/m}^2$	۱۰	c	چسبندگی
-	۳ درجه	$\psi$	زاویه انساع
-	۰,۰۳۴	C <sub>c</sub>	شاخص فشردگی
-	۰,۰۰۱۷	C <sub>s</sub>	شاخص تراکم پذیری
-	۰,۵	e	تخلخل
-	۰,۳۸	K <sub>0</sub> <sup>nc</sup>	ضریب تنش جانبی
-	۱	OCR	نسبت پیش تحکیمی
-	۰,۵۶	K <sub>0</sub>	ضریب تنش جانبی

یک پی سطحی نواری در خاک به طول ۱۵ متر با سربارگسترده معادل بار ۷۰ کیلونیوتن بر متر مربع بر روی بی اعمال می‌شود. با توجه به ابعاد مدل ایجاد شده در مقاله ، برای ساختمان پنج طبقه مورد تخلیل قرار گرفت. نمونه مدل سازی شده با توجه به افزایش لایه‌بندی ژئوگرید در خاک زیر پی تا سه لایه با درنظر گرفتن سه متر بیرون زدگی آن از کناره بی نشست کمتری در نقطه میانی زیر بی شاهد خواهد بود. المان مثلثی برای آنالیز استاتیکی و دینامیکی در نظر گرفته شده است.



شکل ۷- نمای کلی مدل در تحلیل عددی به همراه نحوه المان بندی

در این تحقیق با هدف مسلح سازی خاک ضعیف، از ژئوگرید با مشخصات ذکر شده در جدول (۲) استفاده شده است و تصویر آن در شکل ۶ ارائه گردیده است. این ژئوگرید نمونه استفاده شده در شرکت مشیران شبکه می‌باشد.



شکل ۶- شکل و اندازه ژئوگرید مصرفی

ابعاد روزنه‌ها (mm)	ضخامت (mm)	واحد وزن سطح (gr/m <sup>2</sup> )	شکل چشمeh	جنس
۵/۲۵× ۵/۴	۱/۲	۲۸۶/۷	مربع	پلی اتیلن

جدول ۲- مشخصات ژئوگرید

مشخصات شمع بتی نیز به شرح جدول ۳ است.

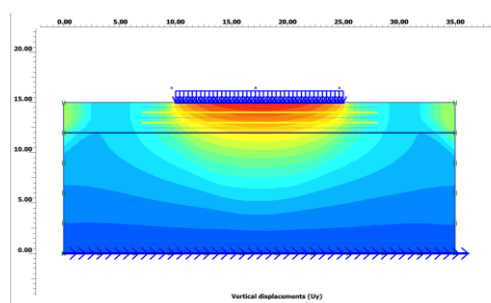
جدول ۳- مشخصات شمع

w وزن	d قطر	EI سختی خمی	EA سختی محوری	مدل رفتاری	مشخصات
۰	۷۶۲	۸۰۰۰ KN/m <sup>2</sup> /m	۲×۱۰ <sup>۶</sup> KN/m	الاستیک	شمع

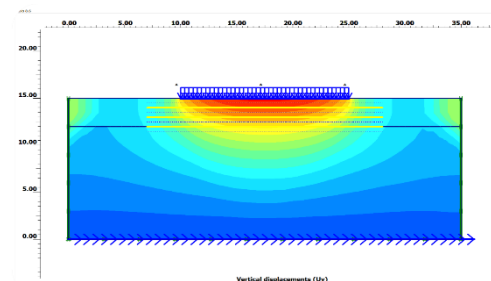
مشخصات خاک کوی فرشته پس از نمونه برداری و انجام آزمایش‌هایی چون دانه‌بندی و تهیه لوگ گمانه از منطقه و انجام آزمایش برش مستقیم و غیره وارد کردن پارامترها در نرمافزار پلاکسیس به عنوان ورودی‌های مورد نیاز در جدول (۴) وارد شده است. همچنین با توجه به اطلاعات بدست آمده از آزمایش‌های دانه‌بندی و دامنه خمیرایی بر اساس بافت و اندازه مصالح می‌توان به این نتیجه رسید که خاک منطقه مورد مطالعه بر طبق سیستم طبقه‌بندی متحد خاک در گروه CL قرار می‌گیرد.

جدول ۴- طبقه‌بندی نمونه خاک کوی فرشته

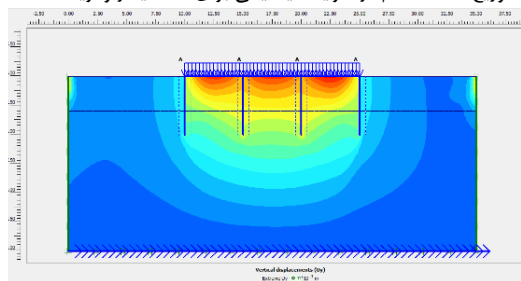
نشانه گروه: (USCS)	نام گروه:
رس با خاصیت خمیری پایین	



شکل ۱۳- توزیع نشت قائم در شرایط دینامیکی برای دو لایه ژئوگردید



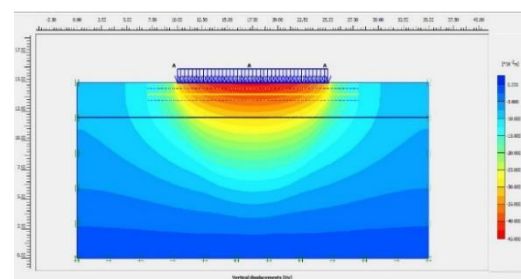
شکل ۱۴- توزیع نشت قائم در شرایط دینامیکی برای سه لایه ژئوگردید



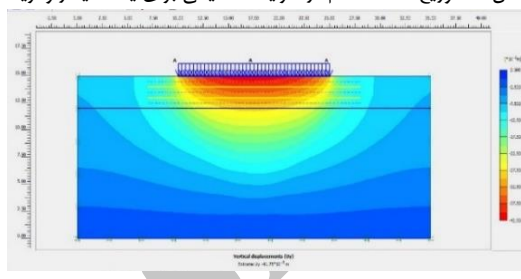
شکل ۱۵- توزیع نشت قائم در شرایط دینامیکی برای گروه شمع

## ۶- نتایج و بحث

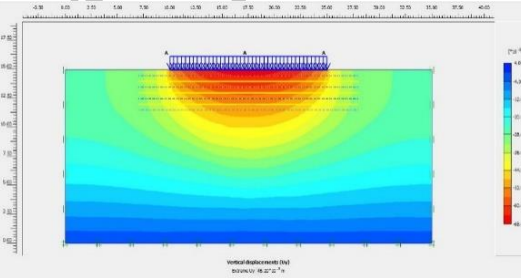
شکل (۱۶) تغییرات نشت تحکیمی قائم در مدت زمان سی روز را در حضور لایه‌بندی ژئوگردید نشان می‌دهد. در این نمودار که بر اساس تحلیل استاتیکی صورت گرفته محور X زمان برحسب روز و محور Y نشان‌دهنده نشت قائم بر حسب متر می‌باشد. با توجه به شکل (۱۶) مشخص است که تغییرات محاسبه شده برای نشت قائم در مدت زمان سی روز برای مدل دو لایه ژئوگردید در شرایط تحلیل دینامیکی و تحلیل استاتیکی کمترین میزان را دارا بوده است. بطوریکه در سی امین روز نشستی برابر ۴,۱۷ cm مشاهده شده است و این نتیجه حاصل می‌گردد که با کمتر شدن فاصله ژئوگردیدها و افزایش دو لایه ژئوگردید جابجایی و نشت تحکیمی پی نیز کمتر خواهد بود.



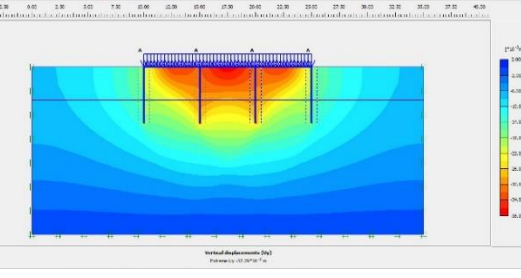
شکل ۸- توزیع نشت قائم در شرایط استاتیکی برای یک لایه ژئوگردید



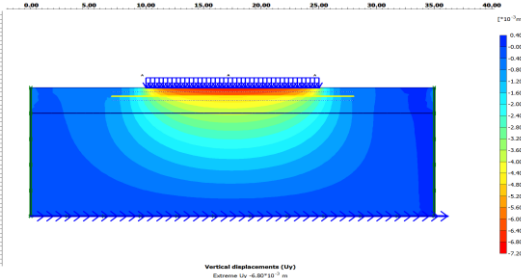
شکل ۹- توزیع نشت قائم در شرایط استاتیکی برای دو لایه ژئوگردید



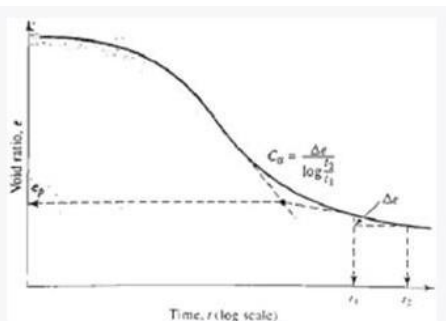
شکل ۱۰- توزیع نشت قائم در شرایط استاتیکی برای سه لایه ژئوگردید



شکل ۱۱- توزیع نشت قائم در شرایط استاتیکی برای گروه شمع



شکل ۱۲- توزیع نشت قائم در شرایط دینامیکی برای یک لایه ژئوگردید



شکل ۱۸- تغییرات  $e$  در مقابل  $\log t$  افزايش بار و تغيير تحکيم ثانويه

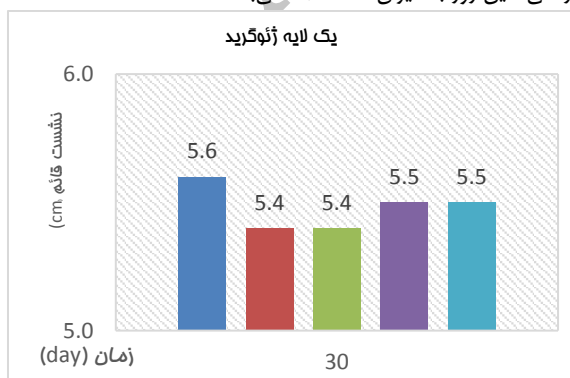
$$c_c = \frac{1}{5} t_0 \frac{1}{10} C_s \quad (1)$$

میزان تحکیم ثانویه با توجه به نشست درازمدت بصورت رابطه شماره ۲ و (۳) محاسبه می‌گردد.

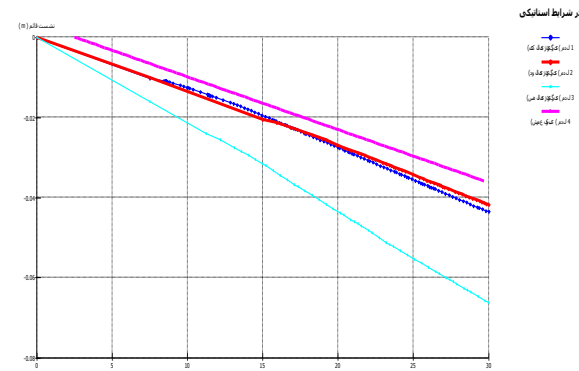
$$S_s = C'_\alpha H \log H \times \left(\frac{t^2}{t_1}\right) \quad (2)$$

$$C'_\alpha = c_\alpha / (1 + e_p) \quad (3)$$

که در آن  $e_p$ ، نسبت تخلخل در انتهای تحکیم اولیه و  $H$  ضخامت لایه رسی می‌باشد. تحکیم ثانویه از یک روز تا سی روز بعد از اعمال بار رخ می‌دهد. مقدار  $e_0 = 0.5$  تخلخل اولیه و میزان تحکیم ثانویه  $C_a = 2.99$  می‌باشد [۹]. کل نشست تحکیمی بعد از سی روز به شرح زیر خواهد شد. محاسبات تنش موثر و فشار آب حفره‌ای برای شکل شماره (۳) به ترتیب برای یک و دو لایه رس همگن انجام موردن محاسبه قرار گرفته است. پس از تعیین تنش موثر برای دو لایه تغییرات نسبت تخلخل و تحکیم اولیه بدست آورده می‌شود که در جدول (۶) آمده است. نشست تحکیم ثانویه قائم برای خاک مورد نظر با در نظر گرفتن سی روز زمان نشست طبق جدول (۶) بدست می‌آید. نشست تحکیم ثانویه (نشست قائم) در سی امین روز به میزان  $4.98 \text{ cm}$  می‌باشد.

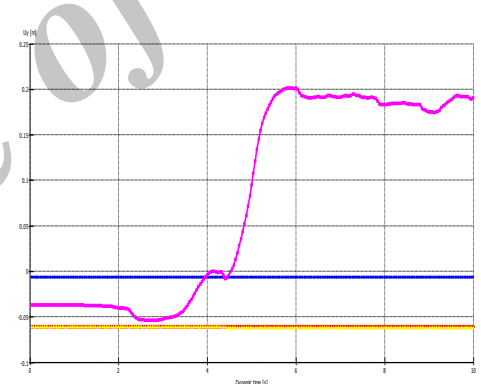


شکل ۱۹- تغییرات نشست - زمان ناشی از آرایش ژئوگریدها در یک لایه ژئوگرد



شکل ۱۶- اثر تغییرات نشست - زمان در شرایط تحلیل استاتیکی پی در مدل رفتاری نرم‌شنونده خوشی تابع زمان

نتایج آنالیز برای چهار مدل در شرایطی که تحلیل لرزه‌ای پی و بارگذاری دینامیکی انجام گرفته است نیز در شکل (۱۷) نشان داده شده‌اند. نتایج مدل سازی برای یک، دو، سه لایه ژئوگرد و یک گروه شمع به شرح زیر می‌باشد.



شکل ۱۷- اثر تغییرات نشست - زمان در شرایط تحلیل لرزه‌ای پی در مدل رفتاری نرم‌شنونده خوشی تابع زمان

با اطلاعات به دست آمده از نتایج نموداری تحکیم اولیه تابع زمان می‌توان محاسبات نشست احتمالی به علت تحکیم ثانویه را با فرض تحکیم یک بعدی انجام داد. در رس‌های پیش‌تحکیم یافته برای  $p_0 + \Delta p \leq p_c$  تغییرات صحرایی  $e$  در مقابل  $\log p$  در امتداد خط خواهد بود که شبی آن تقریباً مساوی شبی منحنی برگشت در آزمایشگاه است. طبق شکل (۱۸) شبی منحنی برگشت  $C_e$  نشانه تورم نامیده می‌شود که مطابق رابطه (۱) به صورت قابل ملاحظه‌ای کوچکتر از نشانه فشردگی است که معمولاً می‌توان از نتایج آزمایشگاهی به دست آورد.

جدول ۶- محاسبات دستی انجام گرفته برای نشست تحکیمی

پارامتر	نماد	معادله مربوطه	مقدار
نشست قائم در نقطه A	$\sigma_{vertical(A)}$	$\gamma_d \times h_1$	124 kpa
فشار آب حفره‌ای در نقطه A	$U_{(A)}$	-	*
نشست قائم در نقطه B	$\sigma_{vertical(B)}$	$\sigma_{vertical(A)} + (\gamma_{sat} \times h_2)$	352 kpa
فشار آب حفره‌ای در نقطه B	$U_{(B)}$	$\gamma_{water} \times h_2$	120 kpa
نشست موثر کل لایه‌ها	$\sigma_{vertical(B)}$	$\sigma_{vertical(B)} - U_{(B)}$	232 kpa
تغییرات تخلخل	$\Delta e$	$e_0 - C_c [\log(p_0 + \Delta p) - \log p_0]$	-2.33
نشست تحکیم اولیه	$C'_{a}$	-	2.24
نشست تحکیم ثانویه	$S_v$	$C_a' H \log(\frac{t_2}{t_1})$	4.98

## ۷- نتیجه‌گیری کلی

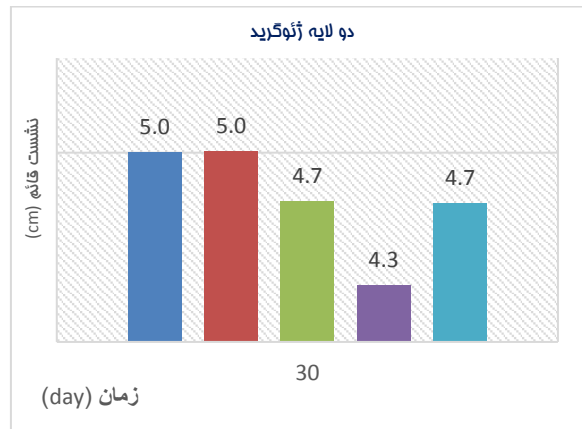
۱- بررسی نتایج مدل‌سازی‌ها نشان می‌دهد که نرم‌افزار اجزای محدود PLAXIS توانایی مدل‌سازی مناسب پی‌ها و نشست پی‌داشته و می‌تواند به عنوان ابزاری مناسب در ارائه راهکاری مناسب در تقویت و افزایش بارگیری پی‌ها در خاک‌های رسی مورد استفاده قرار گیرد.

۲- استفاده از ژئوگریدها در خاک زیر پی، با در نظر گرفتن طول ژئوگریدها و تعداد لایه‌ها می‌تواند به عنوان یک روش مطمئن برای ثبت خاک زیر پی باشد و احتمالاً بتواند به عنوان یک جایگزین مناسب برای شمع قرار گیرد.

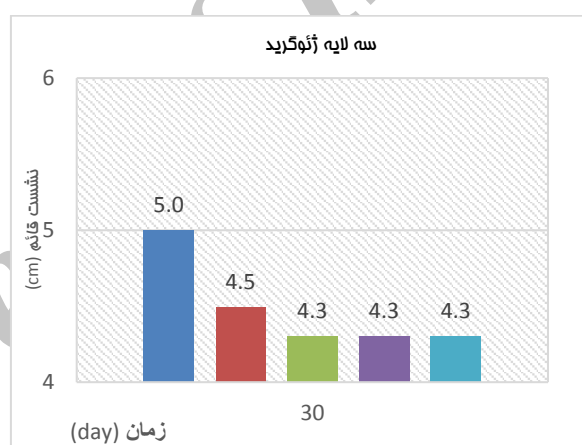
۳- احداث ژئوگریدها با آرایش سه لایه در خاک زیر پی به لحاظ اقتصادی نیز مقرر به صرفه‌تر خواهد بود.

۴- در خاک‌های ماسه‌ای و سیلتی به علت وقوع روانگرایی نشست زیر پی بیشتر خواهد بود و گاهی ممکن است از یک متر نیز تجاوز کند.

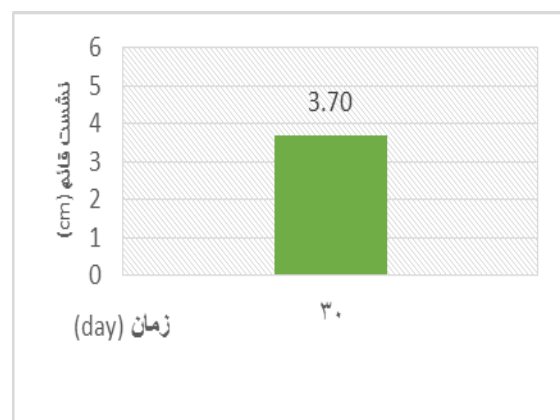
۵- بر اساس مدل عددی احداث ژئوگرید در خاک‌های دانه‌ای نمی‌تواند جلوی نشست ژئوگرید را بگیرد. این خود دلیلی برای درگیر نشدن ژئوگرید و اندرکش آن با خاک دانه‌ای می‌باشد.



شكل ۲۰- تغییرات نشست - زمان ناشی از آرایش ژئوگریدها در دو لایه ژئوگرید



شكل ۲۱- تغییرات نشست - زمان ناشی از آرایش ژئوگریدها در سه لایه ژئوگرید



شكل ۲۲- منحنی تغییرات نشست زمان در پی‌های شمع دار در شرایط تحلیل دینامیکی

لذا نمی‌توان از تثبیت به روش ژئوگرید در خاک‌های دانه‌ای استفاده نمود.

۶- با افزایش میزان لایبندی ژئوگریدها در زیر پی تا دو لایه، نشت و جابجایی تا حدودی کمتر و همچنین پایداری پیش‌تر می‌شود.

۷- افزایش لایبندی ژئوگرید موجب افزایش قابل توجه در طرفیت باربری پی نواری می‌گردد.

۸- بهسازی خاک سست و ضعیف با جایگزینی عمقی مشخص از ژئوگرید دو طرفه در زیر پی، باعث افزایش پایداری و بهبود طرفیت باربری خواهد شد.

#### - مراجع

- ۱- آخوندی، ع، (۱۳۷۶)، پلیمر و سازه‌های مقاوم خاک مسلح، انتشارات مرکز تحقیقات ساختمان و مسکن.
- ۲- شفابخش، غ، حداد، ع، اکبری، م، گواشیری، ز، (۱۳۷۸)، امکان سنجی اجرای دیوار خاک مسلح با ژئوستیک و بررسی موردی آن در جاده گلستان، پژوهشنامه حمل و نقل، شماره ۱.
- ۳- عاطفی‌فرد، م، خیری، مهدی، داودی، سعید، (۱۳۹۶)، مروری اجمالی بر مهم‌ترین روش‌های تثبیت خاک، صفحه ۲۱
- ۴- موسوی، ا، سعیدی، اس، ملکی، ا، (۱۳۹۳)، مقاوم سازی خاک‌کریزهای خاکی با مقاومت ضعیف با استفاده از ژئوگریدها، سومین کنفرانس ملی مصالح و سازه‌های نوین در مهندسی عمران، سمنان، ایران، صفحه ۲.
- ۵- حسینی، م، (۱۳۹۴)، ارزیابی رفتار باربری پی‌های نواری بر روی خاک لایه‌ای مسلح با ژئوگرید، مجله علمی پژوهشی شریف، شماره ۱، دوره ۲.
- 6- Maltaseva ,T., Saltanova ,T., Chernykh, A .. Modelling a reinforced sandy pile rheology when reacting with water saturated ground, 15th international scientific confrence, 2016, No 165, pp 840-844.
- ۷- شیردل، م، قنبری، ع، (۱۳۹۴)، تعیین طرفیت باربری پی‌های نواری واقع بر خاک مسلح با استفاده از روش قطعات افقی، مجله مهندسی عمران شریف، شماره ۱، دوره ۲۷-۲، صفحه ۴۵-۵۸.
- ۸- بهپورگوهری، م، روحی مهر، ا، وفایی پور، د، (۱۳۸۵)، آموزش جامع پلکسیس، انتشارات فروزش، صفحه ۷۱-۸۶
- ۹- داس، ب، (۱۳۷۹)، مکانیک خاک و پی، ترجمه اردشیر اطبایی، جلد دوم، دانشگاه تهران.

# Improvement of Loose Clayey Soil Layers Under Shallow Foundation with Using Geogrid

Sadaf Mahmoudi azar

Department of civil engineering, Tabriz Branch, Islamic azad University, Tabriz, Iran

Ramin Vafaeipoor sorkhabi\*

Department of civil engineering, Tabriz Branch, Islamic azad Assistant professor,

University, Tabriz, Iran

raminvafaei@yahoo.com

## Abstract:

Geogrid as reinforcement in the present, can solve the problems with the construction of heavy structures and embankments on weak soils without need for piling or excavation operations. This is done by placing geogrid on weak soils Between them at appropriate distances then cut the failure surfaces This article is about geotechnical information of weak soil of Fereshteh street in Tabriz city. in the present study, two sides geogrid is widely used and parallel under foundation with burst zero, one, two, three and four meters. In the PLAXIS modeling software, model has been designed for statically and dynamically or seismic analysis and their behavior has been compared. according to the results by Construction of two layers of geogrid vertical settlement for this soil has been 4.30 centimeters in thirty days. Which has the lowest amount compared to other layers in this case this can help in preventing long-term soils settlement. This result can be used for the lands which there is no limit on the adjacent Residential structures to a radius of three meters.

**Keywords:** Geogrid, Reinforcement, Modeling, PLAXIS, Dynamic analysis, Settlement